

Sonografické vyšetření ramena

Scanning Technique in Shoulder Ultrasonography

K. MEZIAN¹, T. NOVOTNÝ², J. CHOMIAK³, L. HRAZDIRA⁴

- ¹ Klinika reabilitačního lékařství 1. lékařské fakulty Univerzity Karlovy a Všeobecné fakultní nemocnice v Praze
² Ortopedická klinika Fakulty zdravotnických studií Univerzity J. E. Purkyně v Ústí nad Labem a Krajské zdravotní, a. s. – Masarykovy nemocnice v Ústí nad Labem
³ Ortopedická klinika 1. lékařské fakulty Univerzity Karlovy, IPVZ a Fakultní nemocnice Na Bulovce, Praha
⁴ NZZ MUDr. Luboš Hrazdira s.r.o., Brno

SUMMARY

This guide to ultrasound examination of the shoulder describes the basic scanning planes and contains corresponding high-resolution ultrasound images. The patient and probe positionings are explained in a simplified step-by-step manner using schematic drawings. This standard and simple examination technique seems to be an appropriate way to improve the learning curve of novice musculoskeletal sonographers. In this manuscript, an emphasis is placed on the rotator cuff, biceps tendon, subacromial-subdeltoid bursa, and joint recesses evaluation. This article also describes some common pitfalls to avoid when starting with shoulder ultrasonography (e.g. always determine the relevance of ultrasound findings in the context of clinical examination).

Key words: tendons, bursa, synovial, shoulder, musculoskeletal, protocol, examination, ultrasound imaging, sonography, rotator cuff, acromioclavicular joint, shoulder impingement syndrome, learning curve.

ÚVOD

Využití ultrasonografického (US) zobrazení k detekci volné tekutiny v kloubu bylo představeno již v roce 1979 (8). O několik let později byly publikovány první práce popisující možnosti US při studiu morfologie rotátorové manžety (RM) a šlachy dlouhé hlavy bicepsu (DHB) (2, 6). Vyšetření lze provádět staticky přiložením sondy v exaktní pozici – kolmě k vyšetřované struktuře, nebo dynamicky – v pohybu sondou nebo horní končetinou. Pro vyslovení validního závěru je třeba dodržet standardní postup vyšetření a nález porovnat s protilehlou stranou (4). Při nalezení patologie je nutná její vizualizace/konfirmace zobrazením v minimálně dvou na sebe kolmých rovinách, případně doplnění dynamických manévrů k posouzení její relevance. Pro základní orientaci slouží povrchová kostní anatomie. Současné odborné písemnictví nabízí řadu postupů/protokolů k US vyšetření ramena (1, 3, 5, 7). Pro začínající musculoskeletální sonografisty doporučujeme krok za krokem dodržovat postup prezentovaný v tomto protokolu. S přibývajícími zkušenostmi však může docházet k jeho individuální adaptaci. Ilustrační sonogramy byly pořízeny na přístroji Samsung RS85 (Soul, Jižní Korea).

PATOLOGIE

Léze svalů pletence pažního, léze RM, léze DHB, změny na burzách, léze měkkotkáňových periartikulárních struktur, intraartikulární výpotek glenohumerálního a akromioklavikulárního kloubu, abnormality kostních povrchů, nádorové afekce (3).

POLOHOVÁNÍ PACIENTA

Pacient při vyšetření sedí na židli bez područek a opory zad. Vyšetřující sedí na židli bokem k pacientově postižené straně nebo stojí za zády pacienta na straně vyšetřovaného ramena. Polohu pacienta i vyšetřujícího lze nicméně volit podle preference či podle potřeby (např. pacient upoutaný na lůžko může být vyšetřen vleže na zádech). Zde je však nutné zohlednit možnou redistribuci volné tekutiny podle působení gravitace.

VÝBĚR SONDY

Volíme lineární sondu o frekvenci minimálně 10 MHz (optimálně v rozsahu 5–18 MHz). U obézních pacientů nastavujeme nižší insonační frekvenci.

POSTUP VYŠETŘENÍ

Ventrální projekce

Dlouhá hlava *m. biceps brachii*

Vyšetření zahajujeme v tzv. „neutrální poloze“ s fletovaným loktem a supinovaným předloktí volně položeným na pacientově stejnostranném stehnu (obr. 1a). Sondu přiložíme horizontálně na ventrální stranu ramena (obr. 1b). Jako první obvykle pátráme po přítomnosti volné tekutiny, kdy dochází k typické akumulaci kolem šlachy DHB. Jako základní kostní orientační body slouží *tuberculum majus humeri* a *tuberculum minus humeri*. Zachytíme obě hyperechogenní prominense zároveň na obrazovce US přístroje a mezi nimi v *sulcus bicipitalis*

identifikujeme šlachu DHB se svou dvojvrstvou *vagina synovialis tendinis* (obr. 1c,c*). Náklonem sondy redukujeme sonografický artefakt anizotropie. Šlachu DHB vizualizujeme v příčném řezu a sledujeme distálně až k úponové šlaše *m. pectoralis major*. V dalším kroku rotujeme sondu o 90° a šlachu DHB zobrazíme i v pohledu podélném (obr. 2a,b). Mírným tlakem na distální pól sondy zajistíme její orientaci současně s průběhem šlachy. Touto optimalizací obrazu docílíme zobrazení šlachy DHB s paralelním uspořádáním šlachových vláken (obr. 2c,c*). Hypoechogenní *a. circumflexa humeri anterior* by neměla být zaměněna za kolekci tektiny kolem šlachy DHB. Ve sporných případech použijeme funkci barevného mapování, která ozrejmí arteriální tok.

M. subscapularis

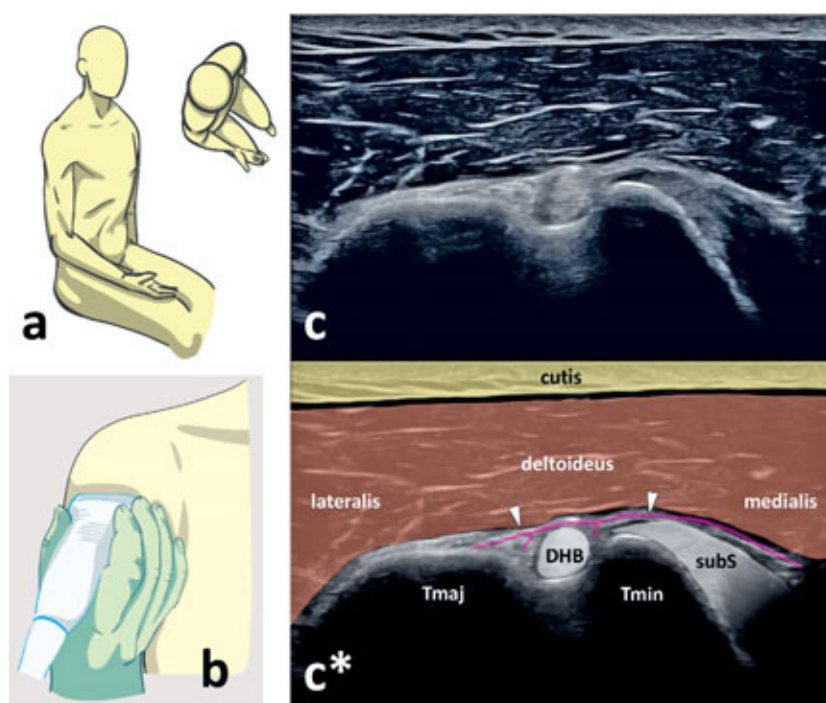
Jeho zobrazení začíná opětovnou vizualizací šlachy DHB a posunem sondy mediálně až ke kostěnému echu *processus coracoideus*. V jeho akustickém stínu je skryta šlacha *m. subscapularis* (*subS*). Úponovou šlachu *m. subS* vyšetrujeme v zevní rotaci ramena (obr. 3). Vzhledem k šíři úponové šlachy tohoto svalu vyšetřujeme posunem sondy zvlášť její kaudální i kraniální oblast.

Laterální projekce

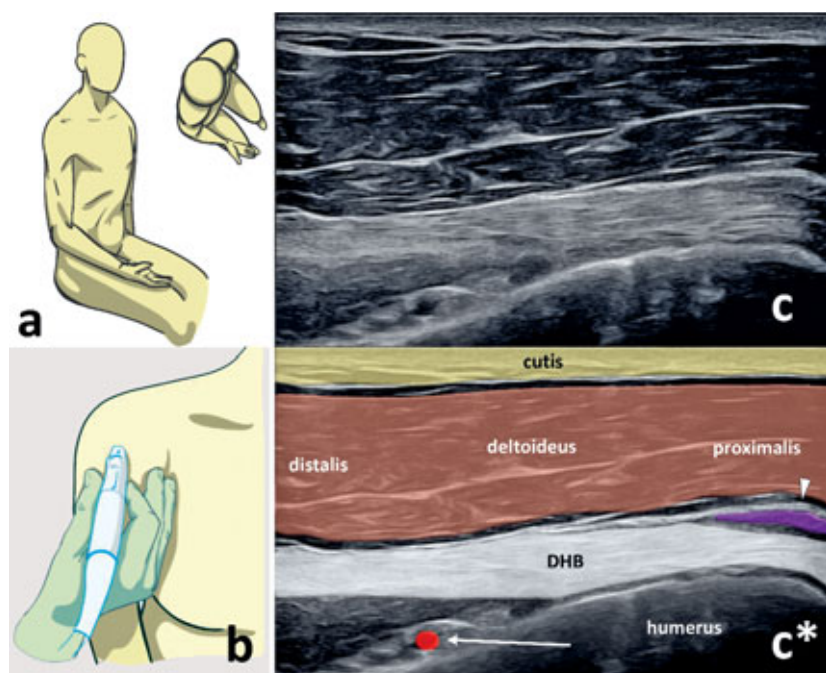
M. supraspinatus, m. infraspinatus a *m. teres minor*

Rameno pacienta je opět v „neutrální poloze“ (obr. 4a). Sondu umístíme na laterální okraj akromionu v koronální rovině (obr. 4b) a vizualizujeme úponovou část *m. supraspinatus* (*supraS*) v její dlouhé ose. Tento pohled na *m. supraS* bývá připodobňován k „ptačímu zobáku“ (obr. 4c,c*). V tomto řezu lze abdukcí paže provést dynamický test na subakromiální impingement. Translačním posunem sondy dorzálně vizualizujeme potupně i *m. infraspinatus* (*infraS*) a *m. teres minor* (*terMi*). Odlišení *m. supraS* a *infraS* v úponové zóně je vzhledem k intimnímu vzájemnému kontaktu jejich sousedních vláken velmi orientační. Rotací sondy o 90° získáme příčný pohled na úponovou část RM (obr. 5).

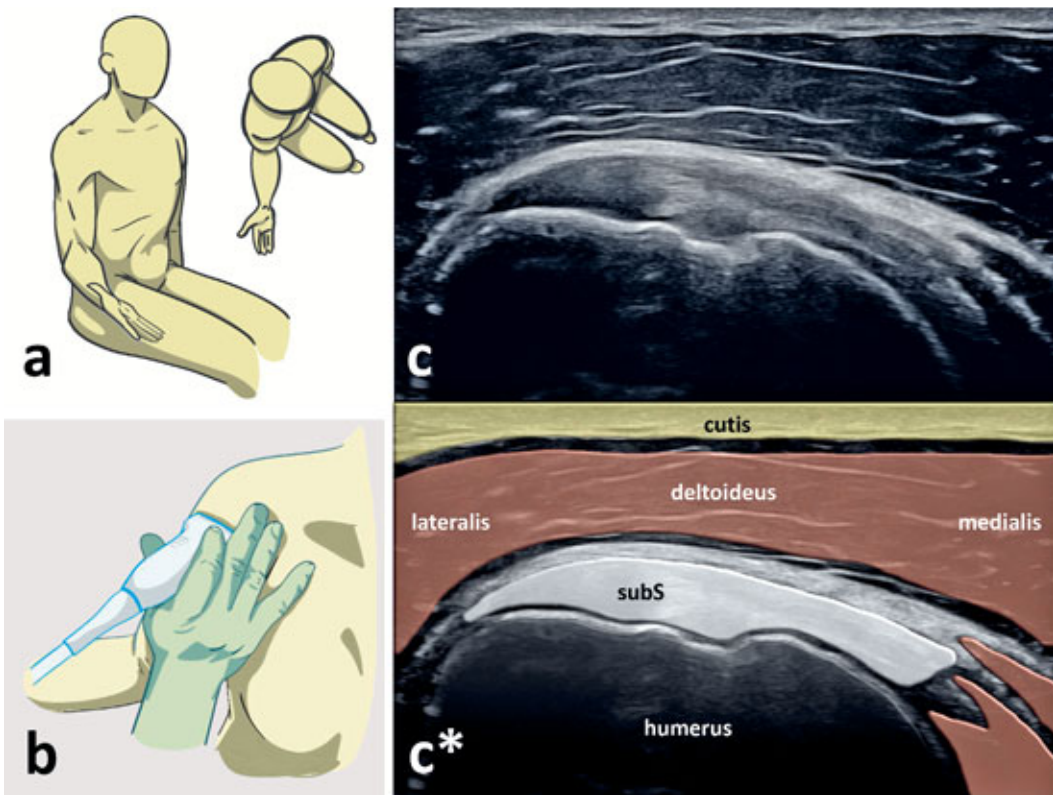
Pro vizualizaci proximálního úseku RM požíváme tzv. Crassovu pozici, tedy vnitřní rotaci ramena s extenzí (obr. 6a). Pacienta požadáme, aby „dal ruku za



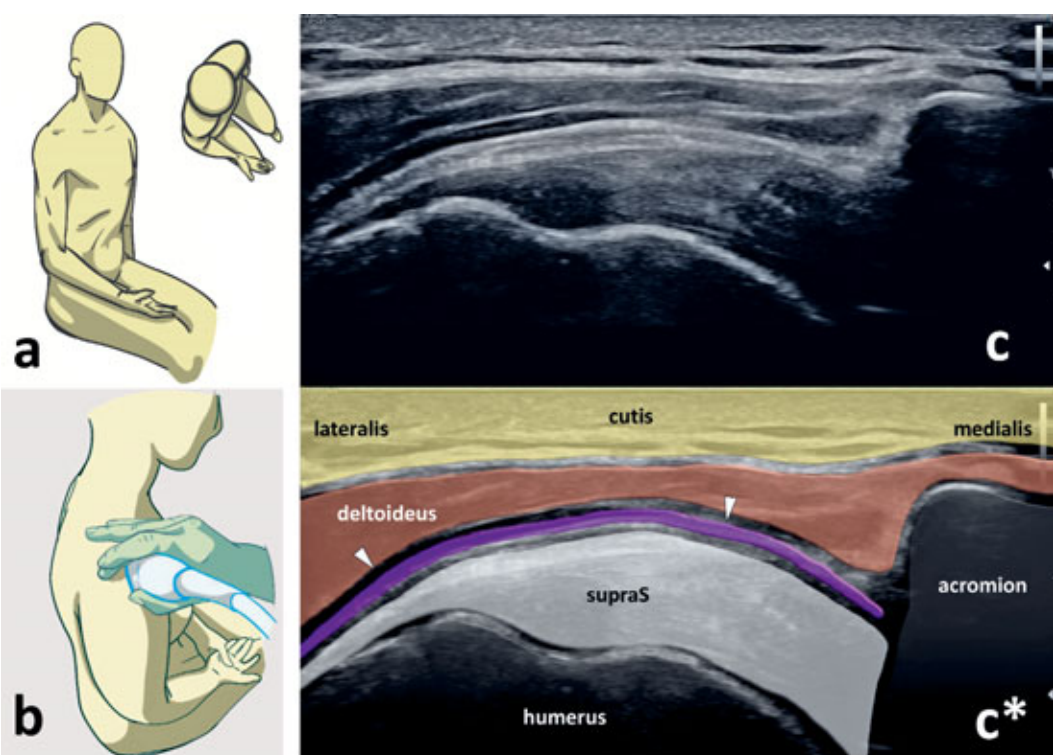
Obr. 1. Ultrazvukové vyšetření šlachy dlouhé hlavy bicepsu – příčně:
a – pacient sedí se supinovaným předloktí opřeným o stejnostranné stehno, v tzv. „neutrální poloze“, b – ultrazvuková sonda je přiložena horizontálně na ventrální stranu ramena, c,c* – axiální sonogram šlachy dlouhé hlavy bicepsu a korespondující barevné schéma.
Zobrazené struktury: šlacha dlouhé hlavy bicepsu (DHB), hlavice humeru, úpon *m. subscapularis* (subS), tuberculum minus humeri (Tmin), tuberculum majus humeri (Tmaj), lig. coracohumerale (růžové, označené bílými trojúhelníky).



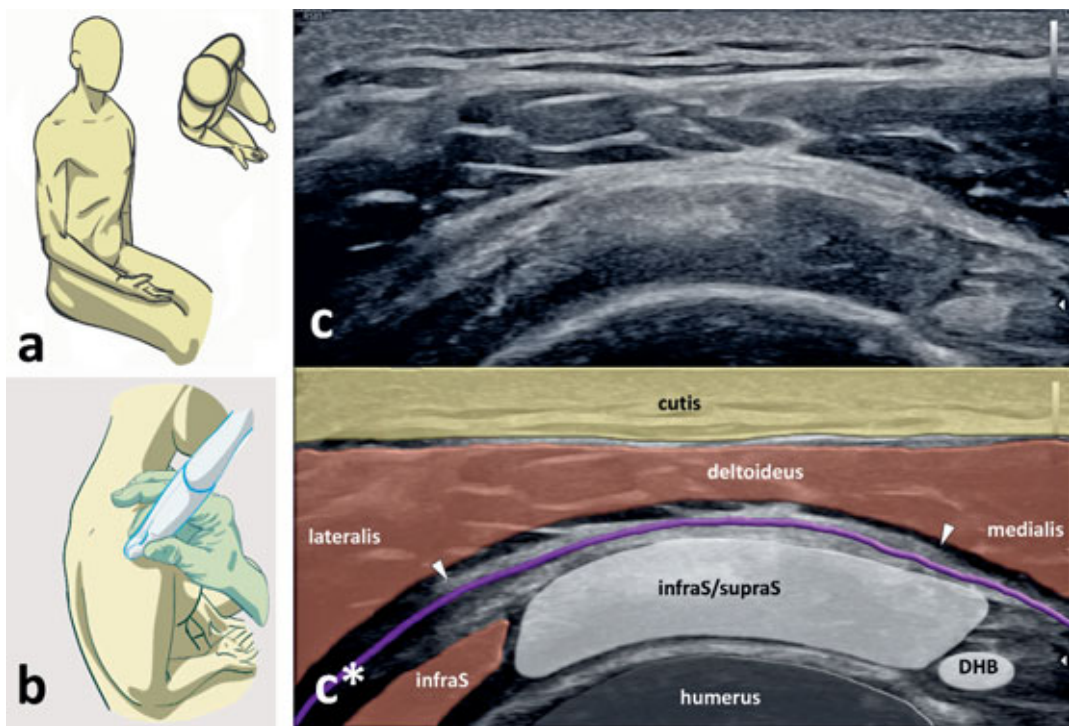
Obr. 2. Ultrazvukové vyšetření šlachy dlouhé hlavy bicepsu (DHB) – podélně:
a – pacient sedí se supinovaným předloktí opřeným o stejnostranné stehno, v tzv. „neutrální poloze“, b – oproti obr. 1 je pro podélné zobrazení DHB sonda rotována o 90°, c,c* – podélný sonogram šlachy dlouhé hlavy bicepsu a korespondující barevné schéma.
Zobrazené struktury: šlacha dlouhé hlavy bicepsu (DHB), *a. circumflexa humeri anterior* (červené, označena bílou dlouhou šípkou), bursa subacromialis-subdeltoidea – ventrální část (fialové, značeno bílým trojúhelníkem).



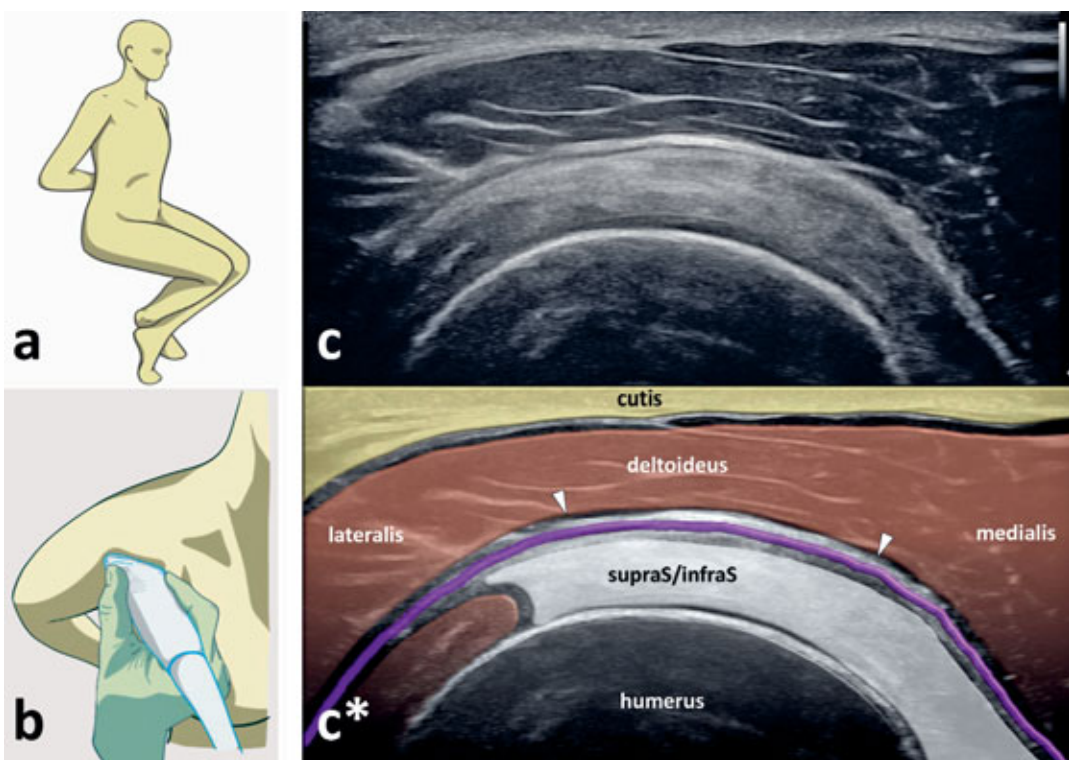
Obr. 3. Ultrazvukové vyšetření *m. subscapularis*:
a – pacient sedí se supinovaným předloktí a ramenem v zevní rotaci, b – ultrazvuková sonda je přiložena horizontálně na vnitřní stranu ramena, c,c* – podélný sonogram šlachy *m. subscapularis* a korespondující přehledné barevné schéma.
Zobrazené struktury: *m. subscapularis* (*subS*).



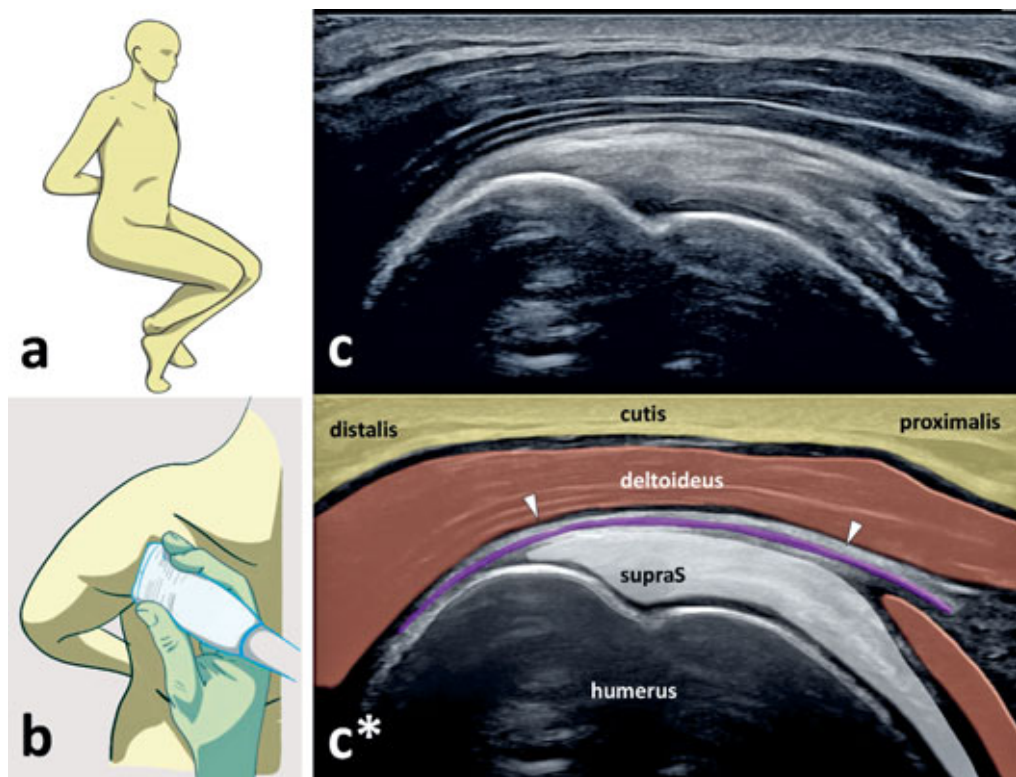
Obr. 4. Ultrazvukové vyšetření úponové části *m. supraspinatus* – podélně:
a – pacient sedí se supinovaným předloktí opřeným o stejnostranné stehno („neutrální poloha“), b – ultrazvuková sonda je přiložena v koronární rovině na laterální okraj akromionu, c,c* – podélný sonogram úponového úseku šlachy *m. supraspinatus* a korespondující barevné schéma.
Zobrazené struktury: *m. supraspinatus* (*supraS*), bursa subacromialis-subdeltoidea (fialově, označena bílými trojúhelníky).



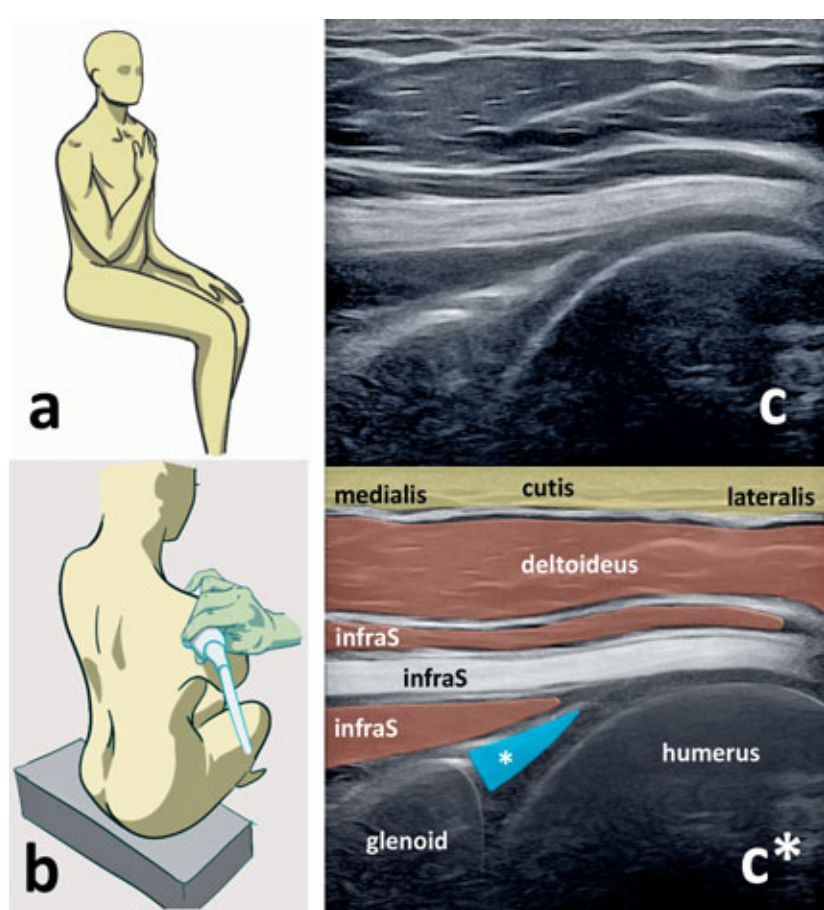
Obr. 5. Ultrazvukové vyšetření úponové části *m. supraspinatus* a *m. infraspinatus* – příčně:
a – pacient sedí se supinovaným předloktím opřeným o stejnostranné stehno („neutrální poloha“), b – pro transverzální pohled na úponový úsek *m. supraspinatus* a *m. infraspinatus* je sonda oproti obr. 4 o 90° rotována, c,c* – transverzální sonogram úponového úseku šlachy *m. supraspinatus* a *m. infraspinatus*.
Zobrazené struktury: *m. supraspinatus* (*supraS*), *m. infraspinatus* (*infraS*), šlacha dlouhé hlavy bicepsu (DHB), bursa subacromialis-subdeltoidea (fialově, označena bílými trojúhelníky).



Obr. 6. Ultrazvukové vyšetření proximální části *m. supraspinatus* a *m. infraspinatus* v anteriorizované pozici – příčně:
a – pacient sedí s ramenem vnitřně rotovaným a dorzem ruky položeným na bedrech („ruka za záda“), b – ultrazvuková sonda je přiložena šikmo (též horizontálně) na ventrální část ramena a pro vyšetření *m. infraspinatus* a *m. teres minor* je posouvána dorzálně, c,c* – příčný sonogram šlachy *m. supraspinatus*/*m. infraspinatus* a korespondující barevné schéma.
Zobrazené struktury: *m. supraspinatus* (*supraS*), *m. infraspinatus* (*infraS*), bursa subacromialis-subdeltoidea (fialově, označena bílými trojúhelníky).



Obr. 7. Ultrazvukové vyšetření proximální části m. supraspinatus v anteriorizované pozici – podélně:
a – pacient sedí s ramenem vnitřně rotovaným a dorzem ruky položeným na bedrech („ruka za záda“), b – ultrazvuková sonda je oproti obr. 6 rotována o 90°, c,c* – příčný sonogram šlahy m. supraspinatus a korespondující barevné schéma.
Zobrazené struktury: m. supraspinatus (supraS), bursa subacromialis-subdeltoida (fialově, označena bílými trojúhelníky).



záda“ s dlaní směřující od těla v úrovni bederní páteře. Při neschopnosti pacienta dosáhnout plné Crassovy pozice, používáme tzv. modifikovanou Crassovu pozici, kdy pacienta vyzveme, aby dal ruku “do zadní kapsy u kalhot“. Výše zmíněné pozice pomocí předního posunu RM umožňují vyšetření jejího proximálního úseku (obr. 6b,c,c*). V dalším kroku sondu opět rotujeme o 90° k zobrazení RM v příčném řezu (obr. 7).

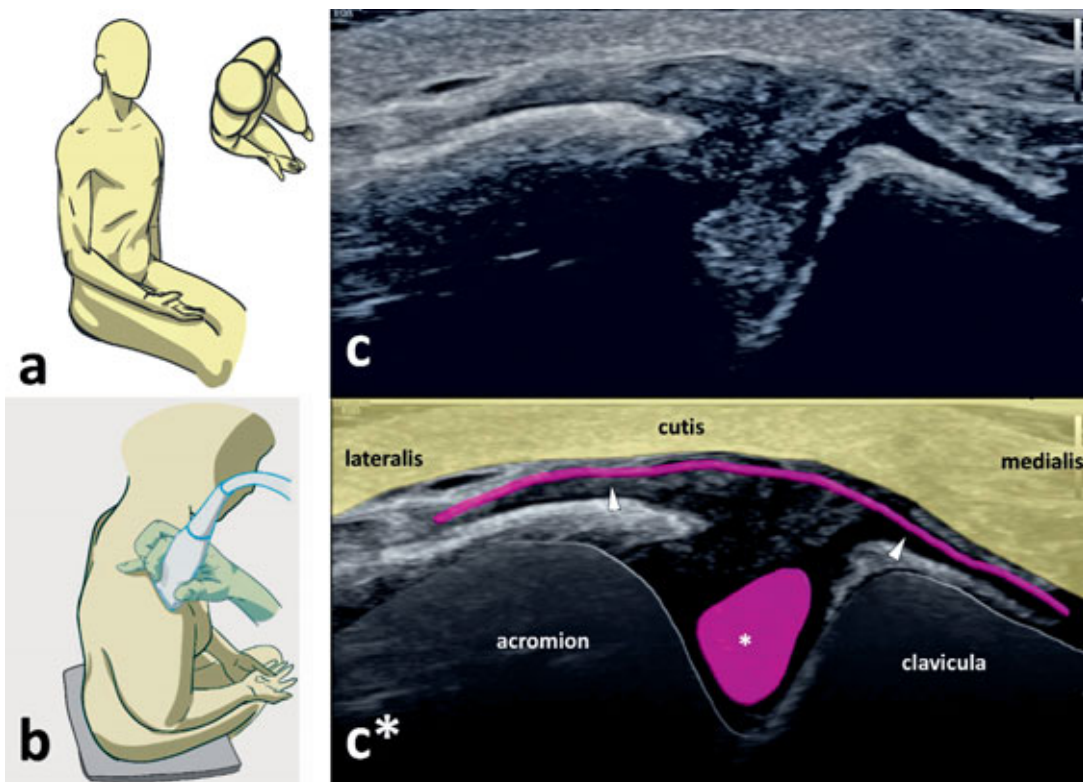
Dorzální projekce

Glenohumerální skloubení

Pacienta vyzveme, aby svou ruku položil na protilehlé rameno (obr. 8a).

Obr. 8. Ultrazvukové zobrazení dorzální části glenohumerálního kloubu:
a – pacient sedí s dlaní volně položenou na protilehlém rameni, b – sonda je umístěna šikmo na dorzální stranu ramena pod úrovni spina scapulae, c,c* – sonogram glenohumerálního kloubu a korespondující barevné schéma.

Zobrazené struktury: m. infraspinatus (infraS), labrum glenoidale (modré, označeno bílou hvězdičkou).



Obr. 9. Ultrazvukové zobrazení akromioklavikulárního kloubu:

a – pacient sedí se supinovaným předloktí opřeným o stejnostranné stehno („neutrální poloha“), b – ultrazvuková sonda je přiložena na mediální okraj akromionu, c,c* – podélný sonogram akromioklavikulárního kloubu a korespondující barevné schéma. Zobrazené struktury: kloubní pouzdro akromioklavikulárního skloubení (růžově, označeno bílými trojúhelníky), artikulární diskus (růžově, označeno bílou hvězdičkou).

Sondu umístíme šikmo na dorzální stranu ramena pod úrovni *spina scapulae* (obr. 8b). V US obrazu je patrný dorzální pohled na glenohumerální (GH) skloubení a dorzální oblast glenoidálního labra (obr. 8c,c*). Pro verifikaci výpotku v GH kloubu provádíme dynamický test pasivní zevní rotaci ramena.

Projekce na akromioklavikulární skloubení

Vyšetřujeme v tzv. „neutrální poloze“ (obr. 9a). Sondu umístíme v koronární rovině na mediální okraj akromionu tak, abychom zachytily laterální okraj klíčku (obr. 9b). Zobrazitelná část akromioklavikulárního (AC) skloubení je představována okraji klíčku, akromionu a ze široka se upínajícím kloubním pouzdrem (obr. 9c,c*). V některých případech je možné prokázat variabilní *os acromiale*, které by mělo být správně rozpoznáno.

ZÁVĚR

Klíčem ke správnému US vyšetření ramena je dokončení kompletního postupu vyšetření a porovnávání s protilehlou stranou a dále je to znalost relevantní sonoanatomie a sonografických artefaktů. Zobrazováním v minimálně dvou na sebe kolmých rovinách, dynamickým vyšetřením a korelací s klinickým nálezem pacienta můžeme významně zvýšit výtěžnost vyšetření.

Literatura

- Amoo-Achampong K, Nwachukwu BU, McCormick F. An orthopedist's guide to shoulder ultrasound: a systematic review of examination protocols. Phys Sportsmed. 2016; 44:407–416.
- Crass JR, Craig EV, Bretzke CA, Feinberg SB. Ultrasonography of the rotator cuff. Radiographics. 1985;5:941–953.
- Hrazdira L. Praktická muskuloskeletální ultrasonografie pro lékaře a fyzioterapeuty. Paido, Brno, 2020.
- Jamadar DA, Jacobson JA, Caoili EM, Boon TA, Dong Q, Morag Y, Gandikota G. Musculoskeletal sonography technique: focused versus comprehensive evaluation. AJR Am J Roentgenol. 2008;190:5–9.
- McNally E. Practical Musculoskeletal Ultrasound. 2nded., Churchill Livingstone, London, 2014.
- Middleton WD, Reinus WR, Totty WG, Melson GL, Murphy WA. US of the biceps tendon appara-tus. Radiology. 1985;157:211–215.
- Özçakar L, Kara M, Chang KV, Tekin L, Hung CY, Ulaüli AM, Wu CH, Tok F, Hsiao MY, Akkaya N, Wang TG, Çarlı AB, Chen WS, De Muynck M. EURO-MUSCULUS/USPRM Basic Scanning Protocols for shoulder. Eur J Phys Rehabil Med. 2015;51:491–496.
- Seltzer SE, Finberg HJ, Weissman BN, Kido DK, Collier BD. Arthrosonography: gray-scale ultrasound evaluation of the shoulder. Radiology. 1979;132:467–468.

Korespondující autor:

MUDr. Tomáš Novotný, Ph.D.

Ortopedická klinika Fakulty zdravotnických studií

Univerzity J. E. Purkyně v Ústí nad Labem

a Krajské zdravotní, a. s. – Masarykovy nemocnice

v Ústí nad Labem

Sociální péče 3316

400 11 Ústí nad Labem-Severní Terasa

E-mail: tomas.novotny@kzcr.eu